

УДК 548.1:533.9

ВЛИЯНИЕ УДАРНО-ВОЛНОВОЙ ОБРАБОТКИ НА ПОВЕРХНОСТЬ СТАЛИ 38ХН3МФА

В.Г. Кириченко, Т.А. Коваленко, В.Н. Леонов

Харьковский национальный университет им. В.Н. Каразина, Институт высоких технологий
 61108, г. Харьков, пр. Курчатова, 31
 E-mail: kirichenko@phh.univer.kharkov.ua

Поступила в редакцию 20 декабря 2009 г.

Представлены результаты исследования структурно-фазовых превращений и упрочнения стали 38ХН3МФА после ударно-волнового воздействия на поверхность стали. Ударно - волновая обработка стали 38ХН3МФА приводит к увеличению прочности образцов, обусловленному процессами перераспределения фаз и углерода в поверхностных слоях. Упрочнение стали при ударной обработке обусловлено выделением в матрице мартенсита фазы цементита.

КЛЮЧЕВЫЕ СЛОВА: ударное воздействие, ферритные стали, фазовые превращения, упрочнение, мартенсит, цементит

INFLUENCE OF SHOCK -WAVE TREATMENT ON SURFACE OF STEEL 38ХН3МФА

V.G. Kirichenko, T.A. Kovalenko, V.N. Leonov
*Kharkov Karazin National University, High Technology Institute
 31 Kurchatov St., Kharkov*

The results of research of structure - phase transformations and hardening of 38ХН3МФА steel after shock – wave are presented. Shock - wave treatment of a steel 38ХН3МФА leads to augmentation of strength of the samples, caused by processes of redistribution of phases and carbon in surface layers. Hardening of steel at shock - wave treatment is caused by allocation in a martensite matrix cementite phases.

KEY WORDS: shock action, ferrite steels, phase transformations, strengthening, martensite, cementite

ВПЛИВ УДАРНО-ХВИЛЬОВОЇ ОБРОБКИ НА ПОВЕРХНЮ СТАЛІ 38ХН3МФА

В.Г. Кіріченко, Т.О. Коваленко, В.М. Леонов
*Харківський національний університет ім. В.Н. Каразіна, Інститут високих технологій
 61108, м. Харків, пр. Курчатова, 31*

Представлені результати дослідження структурно – фазових перетворень і зміщення сталі 38ХН3МФА, підданої ударно – хвильовому. Ударно - хвильова обробка сталі 38ХН3МФА приводить до збільшення міцності зразків, обумовленого процесами перерозподілу фаз і углецю у поверхневих шарах. Упрочнення стали при ударній обробці обусловлено виделенiem в матриці мартенсита фази цементиту.

КЛЮЧОВІ СЛОВА: ударний вплив, феритні сталі, фазові перетворювання, зміщення, мартенсит, цементит

Растущие мировые потребности в электроэнергии наряду с дефицитом органического топлива и загрязнением окружающей среды требует дальнейшего совершенствования ядерной промышленности в XXI веке. Этому посвящены разработки более совершенных реакторов, поиск новых концепций, позволяющих повысить уровень безопасности будущих АЭС, улучшить их экономические показатели, модернизировать конструкционные материалы [1-3]. Вследствие этого использование стальных конструкций будет оставаться на высоком уровне, что обуславливает необходимость продолжения проведения исследований структурно-фазового состояния используемых и модельных сталей в различных условиях комплексного воздействия. В частности, к таким воздействиям относится ударно-волновое воздействие, применяемое для повышения механических свойств сталей. Перспективным методом обработки стальных изделий является использование энергии взрыва и ударных волн, позволяющий достичь высоких прочностных и структурных характеристик. Нагружение ударными волнами находит применение как способ упрочнения металлов и сплавов[4-8]. При воздействии на материал взрывной нагрузки по последнему распространяется ударная волна. Наибольшие сдвиговые напряжения возникают на фронте ударной волны, то есть на границе между материалом, испытавшим ударное сжатие, и невозмущенным. В резко ограниченных областях происходит локальное расплавление металла и интенсивная пластическая деформация. Оценки микроскопической диффузии в таких ситуациях дают аномально высокие значения коэффициента диффузии, например Fe в Ti ($D_e = 10^{-5} - 10^{-7} \text{ м}^2/\text{с}$), которые трудно объяснить в рамках известных механизмов атомной диффузии. Сталь 38ХН3МФА относится к классу конструкционных улучшаемых сталей, которые используются после закалки с высоким отпуском (процедуры улучшения). Эти стали (40Х, 40ХФА, 30ХГСА) содержат 0,3-0,5 % углерода и 1-6 % легирующих элементов. Структура стали после улучшения – сорбит. Улучшаемые стали должны обладать высоким пределом текучести, пластичностью, вязкостью, малой чувствительностью к надрезу. Стали относятся к мартенситному классу, слабо разупрочняются при нагреве до 300-400 С. Одной из задач исследования является идентификация сегрегации легирующих элементов и примесей, а также областей с избытком углерода, которые могут формироваться при ударно-волновом воздействии.

Целью данного исследования являлось изучение и анализ структуры и фазового состава стали 38ХН3МФА после воздействия ударной волны. Для решения этих задач целесообразно применение мессбауэровской спектроскопии с регистрацией электронов внутренней конверсии в геометрии обратного рассеяния на ядрах Fe⁵⁷ (МСКЭ) [9, 10] в совокупности с рентгеноструктурным анализом.

МЕТОДИКА ЭКСПЕРИМЕНТАЛЬНЫХ ИССЛЕДОВАНИЙ

Методами рентгеноструктурного анализа и МСКЭ на ядрах 57Fe исследовали сталь 38ХН3МФА. Состав стали 38ХН3МФА в состоянии поставки следующий: углерод 0,33 – 0,4%; хром 1,20-1,50%; никель 3,00-3,50%; марганец 0,25-0,50%; ванадий 0,10-0,18%; кремний 0,17-0,37%; медь - не более 0,30%; фосфор - не более 0,025%; сера - не более 0,025%. При проведении исследований стали 38ХН3МФА применяли следующие виды термомеханической обработки 38ТЗ – традиционная закалка; 38НМО – низкотемпературная механическая обработка; 38НМОЗ - низкотемпературная механическая обработка с последующей закалкой; 38ВМО – высокотемпературная механическая обработка (табл.1). Для нагружения ударными волнами были приготовлены пластины, предварительно подвергнутые закалке с охлаждением в воде и шлифовке. Ударные волны создавали соударением метаемой пластины, с поверхностью исследуемой стали 38ХН3МФА. Метаемую пластину разгоняли детонационной волной. Давление на фронте составляло от 10 до 23 ГПа. В результате ударного воздействия пластины не испытывали формоизменения. В таблице 1 представлены характеристики обработки образцов, механические свойства (предел прочности σ_в, удлинение δ, сужение Ψ, а_н).

Рентгеноструктурные исследования образцов стали производились установке ДРОН- 3,0 в Cu-к_α - излучении (глубина анализируемого слоя ~ 2,7 мкм), в Fe-к_α и Со-к_α излучении (глубина анализируемого слоя ~ 3 мкм). Точность определения параметра решетки ± 0,0005 Å. С помощью МСКЭ на ядрах Fe⁵⁷ производилась идентификация железосодержащих фаз. Спектры резонансного рассеяния регистрировались с помощью спектрометра ЯГРС- 4. В качестве источника использовался ⁵⁷Со в матрице Сг. Градуировка спектрометра производилась с помощью стандартных железосодержащих гамма-резонансных поглотителей (ГСОН №1551-79). Толщина анализируемого слоя для МСКЭ ≈ 0,1 мкм. Металлографический анализ сталей проводили с помощью микроскопа МИМ-8. Анализ поверхности образцов производили с помощью сканирующего электронного микроскопа JEOL JSM-840.

Таблица 1. Механические свойства исследованных образцов и параметры термомеханической и ударно-волновой обработки

| Образцы | Режимы термо механической обработки | Данные выбранного слоя заготовки | Механические свойства | | | | | |
|---------|--|--|-----------------------|-------------------|----------|-------------|--------------------------------------|-------|
| | | | σ _в , МПа | σ _{0.2} | δ, % | Ψ, % | a _н , кГм/см ² | HRC |
| 38О | Исходный | а)Состояние поставки. б) Прутки: закалка 850 С, масло, отпуск 600 С. НВ=269 | а)1110 б)1180 | а)105 12 12 | 12 50 | а) 49 50 | 780 кДж/м ² | а) 32 |
| 38ТЗ | Исходный + стандартная закалка от 860 °C в масло | Состояние поставки+закалка. | 1750 | 167 | 2:5 | 2..34 | 1.5 | 59 |
| 38НМО | Ударная обработка при 350 С охлаждение в воду | 38НМО прогревался до 350 С до ударного воздействия. | 1100 | 101 | 11.5 | 61 | 6.5 | 35 |
| 38НМОЗ | Закалка от 930 С в воду | Низкотемпературная механическая обработка+закалка. | 1900 | 161 | 6 | 44 | 10 | 50 |
| 38ВМО2 | Ударная обработка при 720°C, охлаждение в воду | Режим 38ВМО2 – аналог 38ВМО, Т обработки 720 °C | 1900 | 155 | | | 7 | 50 |
| 38ВМО | Ударная обработка при 930°C, охлаждение в воду | 38ВМО был нагрет до 930 °C к моменту обработки. | 2000: 2300 | | 0:44 | 0..19 | 1 | 61 |

РЕЗУЛЬТАТЫ ИССЛЕДОВАНИЯ И ОБСУЖДЕНИЕ

Рассмотрим результаты влияния ударно-волновой обработки на микроструктуру, фазовый состав и механические свойства стали 38ХН3МФА. Микроструктура образцов представлена на рис. 1.

Микроструктура исходного образца 38О (рис. 1а) демонстрирует мелкозернистую ферритную структуру с мелкодисперсными карбидами. Рентгеноструктурный анализ не выявил мелкодисперсные карбиды.

Микроструктура исходного образца после стандартной закалки (рис. 1б) обусловлена мартенситом после

закалки обычного образца в состоянии поставки и изменением размера исходного зерна, различием в морфологии мартенсита, расположении и размерах карбидных частиц.

Микроструктура образца 38НМО (рис. 1в), обработанного ударными волнами, демонстрирует размножение дислокаций и изменение микроструктуры, заключающееся в появлении крупных, почти равноосных, зерен. Возможно, произошла динамическая рекристаллизация, так как границы зерен имеют характерную зубчатую форму. Кроме того, могло пройти динамическое деформационное старение. На начальной стадии происходит закрепление карбидов и нитридов дислокациями. В результате дилатометрических измерений установлено, что для образца 38НМО исходная температура $A_{c3} = 775$ С смещается примерно на 50 С в сторону высоких температур. Обычная закалка по режиму 38ТЗ не смещает A_{c3} . Таким образом, структура образцов стали стабилизируется в процессе ударной обработки.

Микроструктура образца 38НМОЗ (рис. 1г) должна дать ответ на вопрос о различии между мартенситом после закалки обычного образца в состоянии поставки и мартенситом после закалки ударно обработанного образца. Различие в свойствах более чем заметное по данным механических испытаний (табл.1). Скорее всего, свой вклад в упрочнение вносит изменение в кинетике аустенитного превращения, а именно - изменение размера исходного аустенитного зерна и различие в морфологии мартенсита, расположении и размерах карбидных частиц.

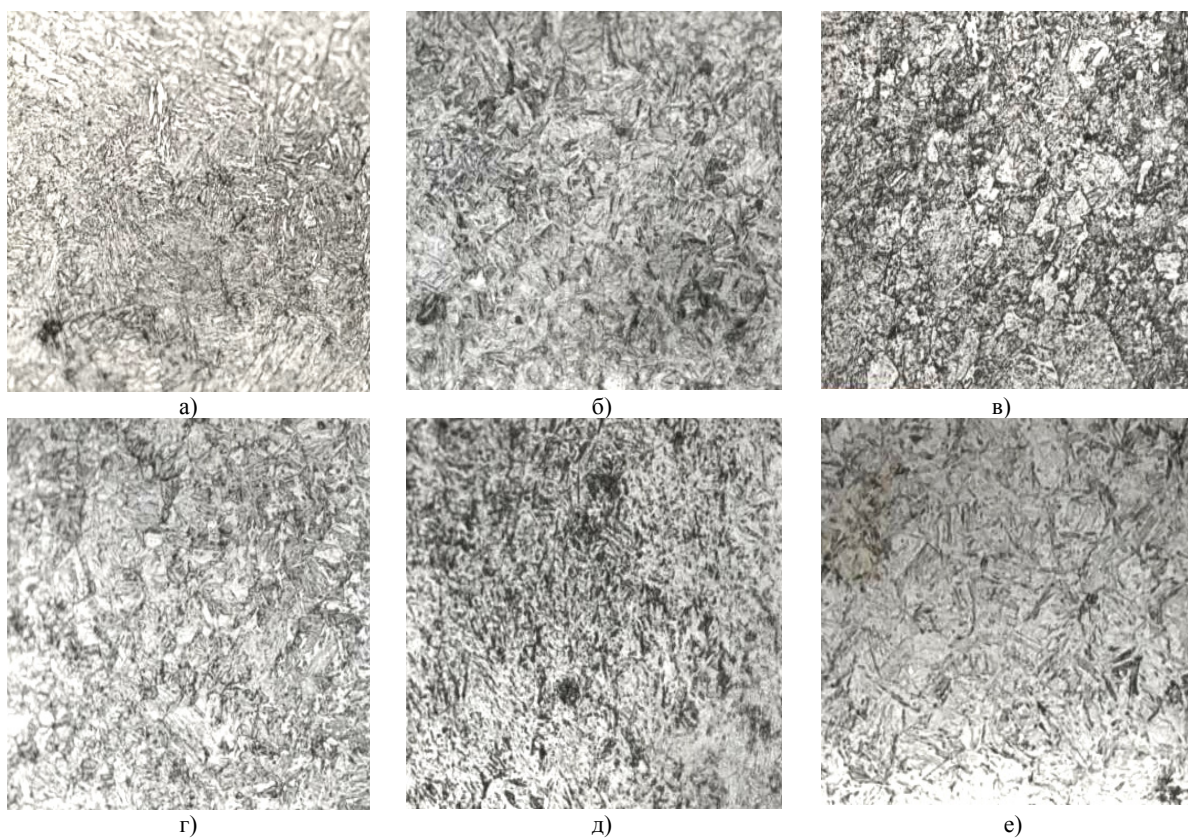


Рис. 1. Микрофотографии поверхности образцов после обработки: а – исходный образец; в - 38ТЗ – исходный +закалка; г - 38НМО после холодной обработки; д - 38ВМО2 после горячей обработки(720 С); е - 38ВМО после горячей обработки (930 С). Увеличение 200^х

Микроструктура образца 38ВМО2, который деформировался в межкритическом интервале, представлена на рис. 1е. Основной фазой в исследованных образцах является мартенсит с различным содержанием углерода.

Микроструктура образца 38ВМО (рис. 1д) полностью его структурное состояние после закалки в процессе ударно – волновой обработки. В процессе обжатия происходит отвод тепла через 38НМО до $T < T_{Ac1} \approx 500$ °С. Затем вся сборка опускалась в воду.

После деформационной выдержки образца 38ВМО при $T > M_k$, свойства полученного мартенсита определяются структурой, созданной горячей деформацией. Материал обладает очень низкой пластичностью. В материале имеются микротрешины, располагающиеся по границам зерен. Именно они являются причиной хрупкого поведения материала при испытаниях. Микротрешины могли появиться в результате слишком жесткого соотношения $T - \varepsilon$, при котором не выполнилось соотношение зернограничной деформации (ЗГД) и внутризеренной деформации для сохранения сплошности материала - доля ЗГД оказалась слишком мала. Для данного материала характерен высокий уровень остаточных напряжений.

В образце 38ВМО тетрагональные искажения уменьшаются, что соответствует содержанию углерода $\sim 0,21\%$. Исчезает линия в направлении $<100>$. То есть появляется текстура в направлении $<110>$. Наблюдается линия цементита, которая соответствует самой интенсивной линии (112); цементит с ромбической решеткой. В мартенсите образца содержание углерода снижается до $0,21\%$, что коррелирует с увеличением концентрации карбида Fe_3C (табл. 2).

Из табл. 1, 2 видно, что значительное повышение σ_{B} для образца 38ВМО можно связать с наличием фазы цементита Fe_3C с ромбической структурой и параметрами $a = 4,52 \text{ \AA}$; $b = 5,09 \text{ \AA}$; $c = 6,75 \text{ \AA}$. Проведен анализ как плоских боковых граней образцов, так и торцов со следами разрыва. Повышение прочности образца также следует связать с наличием фазы цементита.

Таблица 2. Фазовый состав обработанных образцов.

| Образец | Мартенсит | | Аустенит $a, \text{ \AA}$ | Цементит $a, \text{ \AA}$ | Фазы |
|---------|------------------|------------------|------------------------------|--|--|
| | $a, \text{ \AA}$ | $c, \text{ \AA}$ | | | |
| 380 | 2.864 | | | | Мартенсит. Содержание углерода в мартенсите $C \approx 0.15$ |
| 38T3 | 2.851 | 2.894 | 3.627 | | Мартенсит + аустенит. Содержание углерода в мартенсите $C \approx 0.33\%$ Содержание аустенита $\sim 7\%$. |
| 38HMO | 2.868 | 2.894 | | | Мартенсит. Содержание углерода в мартенсите $C \approx 0.1\%$ |
| 38HMOZ | 2.865 | 2.894 | 3.604 | | Мартенсит + аустенит. Содержание углерода в мартенсите $C \approx 0.15$ Содержание аустенита $\sim 3.5\%$ |
| 38BMO | 2.866 2.8722 | 2.894 | | $a = 4,52 \text{ \AA};$ $b = 5,09 \text{ \AA};$ $c = 6,75 \text{ \AA}$ | Мартенсит + цементит. Содержание углерода в мартенсите $C \approx 0.21\%$ -0.23% |

В двух образцах 38T3 и 38HMOZ обнаружен аустенит с параметром решетки, $a = 3,627 \text{ \AA}$ и $a = 3,604 \text{ \AA}$, соответственно. При этом уменьшение параметра a , соответствует уменьшению содержания С в аустените и уменьшению относительного содержания аустенита в образце 38HMOZ до 3.5% по сравнению с 7% для образца 38T3. Таким образом, по рентгеноструктурным данным, аустенит обнаружен только в образцах, подвергавшихся закалке, причем после ударной обработки его содержание понижено.

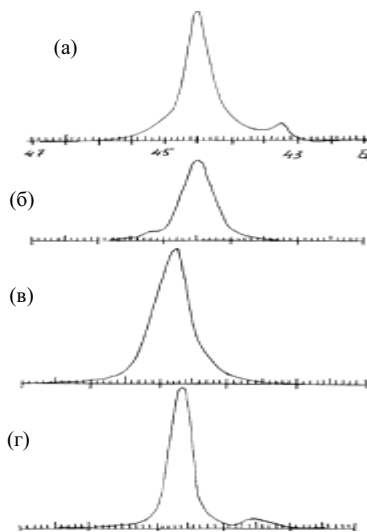


Рис. 2. Рентгеновские профили линии (001) образцов: 38T3 - (а). 38HMOZ (б)
38O (в); 38BMO(г)

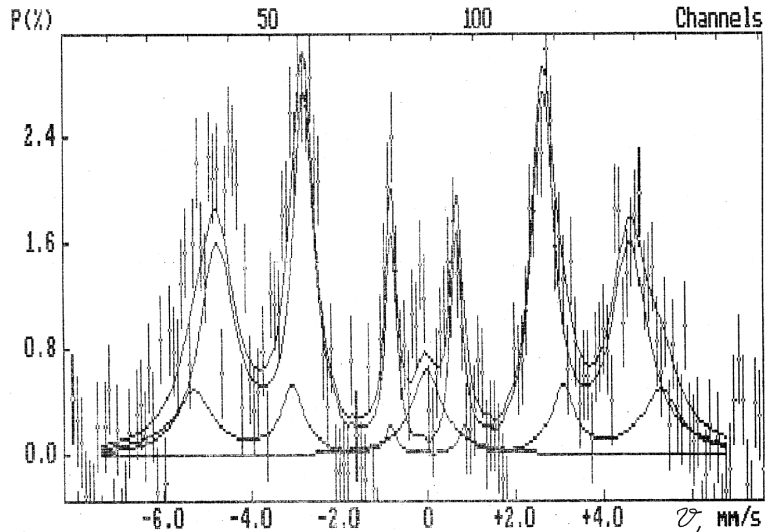


Рис. 3. Спектр МСКЭ поверхности стали после обработки.

Как указывалось выше, основной фазой в образцах является α – мартенсит с различным содержанием углерода. Так в образце 38T3 оценка содержания С дает значение $\approx 0,33\%$ при параметрах решетки $a = 2,851 \text{ \AA}$, $c = 2,894 \text{ \AA}$. В мартенсите образца 38BMO содержание углерода снижается до $\approx 0,21\%$, что коррелирует с образованием и повышенной концентрацией цементита в этом образце. При этом в образце 38BMO исчезает дифракционная линия в направлении $<100>$, что объясняется появлением текстуры в направлении $<110>$.

(рис. 2). Если сравнивать искажение решетки мартенсита, то в наибольшей степени искажен мартенсит образца 38ТЗ, в наименьшей - образца 38НМО. В образце с наибольшим искажением решетки мартенсита обнаружено небольшое содержание аустенита с параметрами решетки $a = 3,627 \text{ \AA}$ и $b = 3,604 \text{ \AA}$ соответственно. Для образца 38ТЗ дифракционные кривые не расщепляются, возможно, из-за наличия микроискажений в решетке мартенсита. При таком значительном уширении можно предположить тетрагональность, соответствующую содержанию углерода 0,325 % с параметрами решетки, $a = 2,851 \text{ \AA}$, $c = 2,894 \text{ \AA}$. Для образца 38НМО – линии не расщепляются, полуширина уменьшается, искажения снимаются.

По мессбауэровским данным мартенсит в поверхностных слоях представлен спектром рассеяния с магнитным расщеплением по величине близкой к α – железу и соответствующей величиной сверхтонкого магнитного поля около 330 кЭ (рис. 3). Мессбауэровские данные подтверждают результаты рентгеноструктурного анализа, но содержание аустенита по данным МСКЭ отличается вследствие различия в толщине анализируемого слоя (соответственно, 3 мкм и 0,1 мкм). По мессбауэровским данным мартенсит в поверхностных слоях исследованных образцов представлен шестилинейчатым размытым спектром рассеяния с параметрами, близкими к ферромагнитной мартенситной фазе. Линии уширены, а результаты компьютерной обработки на предварительном этапе исследований позволяют сделать заключение о расслоении фаз в поверхностных слоях [11 - 13].

При этом с уменьшением параметра решетки наблюдается уменьшение содержания углерода в аустените. Мессбауэровские данные (рис. 3) подтверждают эти результаты, но содержание аустенита по данным МСКЭ отличается вследствие различия в толщине анализируемого слоя, что подтверждает наличие расслоения фаз в стали после обработки.

На рис. 4 представлена зависимость значений предела прочности от содержания углерода в мартенсите, полученная в результате стандартной подгонки к логарифмической зависимости (с достоверностью 0,443). Эта зависимость качественно подтверждает важную роль контроля и регулирования содержания углерода в отдельных фазах – мартенсите, аустените, цементите.

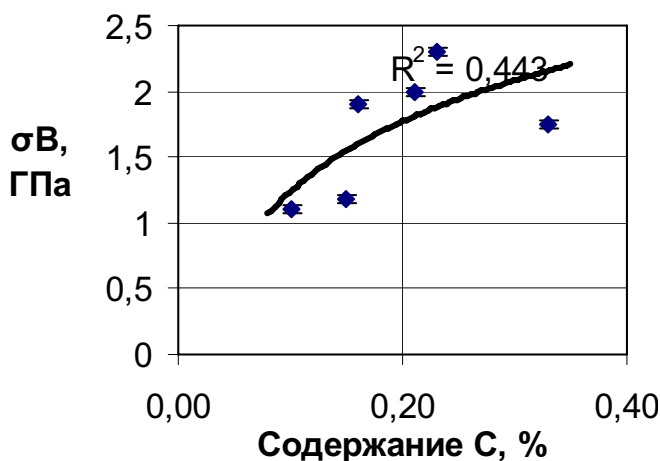


Рис. 4. Зависимость значений предела прочности σ_B от содержания углерода в мартенсите С

Формирование структуры в поверхностных слоях стали при ударном воздействии происходит следующим образом. После соударения пластин при достижении предела текучести возникает волна пластической нагрузки, которая распространяется со скоростью, определяемой балансом внешнего давления и внутреннего напряжения. Развития процесса соударения ведет к увеличению внешнего давления и возникновению волн с большими напряжениями [14, 15]. Такие ударные волны приводят к изменениям структуры мартенсита и аустенита, фазового состава поверхности в зоне ударного воздействия вследствие кратковременного импульсного нагружения материала и распространения в нем ударной волны сжатия с длительностью фронта волны $10^{-7} - 10^{-6}$ с.

Таким образом, становится возможным регулирование относительного содержания альфа и гамма – фаз в результате кратковременного ударного воздействия. При ударно - волновом воздействии обнаружено упрочнение стали 38ХН3МФА, то есть значительное повышение предела прочности, которое можно связать с наличием фазы цементита Fe_3C с ромбической структурой и параметрами $a = 4,52 \text{ \AA}$; $b = 5,09 \text{ \AA}$; $c = 6,75 \text{ \AA}$, а также с процессами перераспределения фаз (мартенсита, аустенита) и углерода в этих фазах в поверхностных слоях стали. Кроме того, важным применением ударно-волновой обработки может быть использование ее в процессах компактирования и упрочнения дисперсно-упрочненных оксидами (ДУО) ферритных и ферритно-мартенситных сталей [16].

ВЫВОДЫ

Представлены результаты исследования структурно-фазовых превращений и процессов упрочнения стали 38ХН3МФА после ударно-волнового воздействия на поверхность стали. Ударно - волновая обработка стали 38ХН3МФА приводит к увеличению прочности образцов, обусловленному процессами перераспределения фаз и углерода в поверхностных слоях. По мессбауэровским данным мартенсит в поверхностных слоях исследованных образцов представлен шестилинейчатым размытым спектром рассеяния с параметрами, близкими к ферромагнитной мартенситной фазе. Линии уширены, что позволяет сделать заключение о расслоении фаз в и сегрегации примесей в поверхностных слоях. В образцах с наибольшим искажением

решетки мартенсита обнаружено небольшое содержание фазы аустенита. При этом уменьшение параметра решетки соответствует уменьшению содержания углерода в аустените. Упрочнение стали при ударной обработке обусловлено выделением в матрице мартенсита фазы цементита.

СПИСОК ЛИТЕРАТУРЫ

1. И.М. Неклюдов. Проблемы работоспособности материалов основного оборудования АЭС Украины // Прогрессивные материалы и технологии. - Киев: Академпериодика, 2003. - Т. 1. - С.277–295.
2. Развитие атомной энергетики России и Украины – фактор устойчивого межгосударственного сотрудничества: материалы совместного совещания-семинара РАН и НАНУ: 21-23 октября 2008 г., ЛОК «Колонтаево» (г. Электросталь). – М.: Наука, 2009. – 357 с
3. И.В. Горынин Надежные материалы – основа безопасности атомной энергетики // Мировая энергетика. - 2006. - №7(31). - С.90-91.
4. И.Н. Гаврильев, А.А. Дерибас, В.И. Зельдович, В.Г. Пушин, О.С. Ринкевич, А.И. Уваров Структура и механические свойства аустенитной хромомарганцевой стали после нагружения ударными волнами //ФММ. – 1988. – Т. 65, вып. 4. - С.801-807.
5. Л.Н. Оклей, И.В. Чхартишвили, Л.О. Попхадзе, Ф.А. Баум, Л.П. Орленко, К.П. Станюкович Зарождение ударных волн в поверхностных слоях соударяемых пластин // Физика взрыва. - М.: Наука, 1975. – С.704.
6. Ударные волны и влияние высокоскоростной деформации металлов. Под ред. М.А. Мейерса, Я.Е. Мура. – М. : Металлургия, 1984. – 512 с.
7. P.S. Follansbee., Gray G.T. Dynamic deformation of shock prestrained copper//Mater. Sci. Eng. – 1991.- Vol.138, №1.-P.23-31.
8. Г.Г. Гладуш, С.В. Дробязко, В.И. Мянко, Ю.В. Павлович, А.Н Явохин Закалка поверхности металлов излучением импульсно-периодического CO₂-лазера // Поверхность. Физика, химия, механика. – 1987. - №7. – С.115.
9. В.Г. Кириченко, А.И. Кирдин Ядерно-физическое металловедение сталей //Вісник Харківського національного університета, сер. фізична "Ядра, частинки, поля".- 2009. - №845. - Вип. 1/41/. - С.39-61.
10. В.В. Чекин, В.Г. Кириченко, Э.А. Резниченко Сверхтонкие взаимодействия и радиационные повреждения в металлах. - Вища школа, 1986.- 136 с.
11. С.А. Письменецкий, В.Г. Кириченко Микродозовая радиационная технология обработки инструмента // Оборудование и инструмент. – 2004, №6(52) - С.12-14.
12. В.Г. Кириченко, Д.В. Чмиль Структурно-фазовые превращения в аустенитных сталях при отжиге, деформации и гамма-облучении //Вісник Харківського національного університета, сер. фізична "Ядра, частинки, поля". – 2002. - №574. - Вип. 4/20. - С. 89-92.
13. В.Г. Кириченко, В.М. Кукин, А.И. Великодный, В.В. Игрушин Ядерная гамма - резонансная спектроскопия металлов, сплавов и неорганических материалов. //Труды 15 международной конференции по физике радиационных явлений и радиационному материаловедению. 10-15 июня 2002. Алушта, Крым. С.352-353.
14. В.С. Васильев, А.Н. Геращенко, М.И. Гусева, А.А. Носков, А.М. Сулима, А.Э. Стригин, В.А. Шулов Исследование методом электронной Оже-спектроскопии элементного состава поверхности стали после ионного легирования и испытаний на циклическую высокотемпературную усталость //Поверхность. Физика, химия, механика. - 1987. - №11. - С. 133.
15. В.Н. Дробязин, С.П. Половнева Воздействие низкотемпературного ударного нагружения и γ - облучения на механические свойства сплава Д16// ДАН УССР, сер. А. Физ-мат. и техн. науки. – 1987. - №11. - С.46-48.
16. А.В. Путилов Разработки ФГУП ВНИИНМ в области нанотехнологий и наноматериалов для атомной отрасли // Российские нанотехнологии.-2007. -Т.2, № 9-10.-С. 6-11.